

09;14

Адаптивный вейвлет-анализ данных оптической когерентной томографии: применение в задачах диагностики

© А.И. Назимов, А.Н. Павлов, В.В. Лычагов,
О.В. Семячкина-Глушковская

Саратовский государственный университет им. Н.Г. Чернышевского
E-mail: pavlov.alexeyn@gmail.com

Поступило в Редакцию 14 мая 2014 г.

Предлагается метод адаптивного вейвлет-анализа, позволяющий проводить настройку параметров вейвлет-преобразования на основе принципов теории оптимизации. Рассматривается его применение для обработки данных оптической когерентной томографии. Иллюстрируется эффективность предложенного метода для диагностики функциональных нарушений динамики сосудов мозга.

Проблема извлечения информации о динамике исследуемой системы при анализе данных оптической когерентной томографии (ОКТ) [1,2] является одной из актуальных задач, имеющих важное значение для развития технических возможностей контроля текущего состояния системы. Решение этой задачи, в частности, способствует совершенствованию технической базы для создания медицинских диагностических комплексов, предназначенных для ранней диагностики функциональных нарушений динамики кровеносных сосудов мозга. Один из вариантов решения состоит в проведении частотно-временного анализа кровотока с применением методов вейвлет-анализа, обеспечивающих возможность получения оценок локальных спектральных характеристик по сигналам малой длительности и нестационарным данным [3–6]. Однако эффективность этих методов зависит от подходящей настройки параметров вейвлет-преобразования, неудачный выбор которых снижает надежность выявления изменений структуры сигналов при изменении состояния системы. Для устранения данного недостатка в настоящей работе предлагается адаптивный подход на основе теории оптимизации.

Рассмотрим пример доплеровского ОКТ-изображения кровеносного сосуда (рис. 1), где градация цвета связана со скоростью и направлением

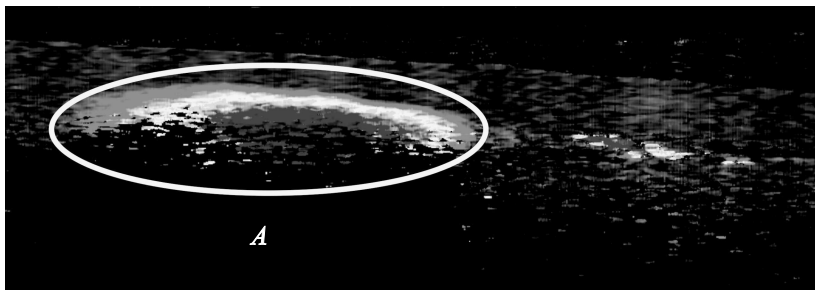


Рис. 1. Пример изображения, полученного при ОКТ сосуда головного мозга крысы.

движения рассеивающих частиц, т.е. со скоростью кровотока. Выбор точки, расположенной внутри сосуда (в пределах контура „А“), и отслеживание изменения градации цвета во времени для последовательности B_0 изображений (сканов ОКТ) позволяет перейти к исследованию временной динамики $s(t)$, $t = i\Delta\tau$, $i = 1, \dots, N_0$, $N_0\Delta\tau = T$, где $\Delta\tau$ — интервал времени между двумя сканами, T — длительность сигнала $s(t)$. Важным показателем функционирования сосуда является реакция на внешнее воздействие, поэтому предлагаемый метод базируется на сравнении характеристик двух режимов функционирования — до и после воздействия (соответственно $s_0(t)$ и $s_1(t)$).

При анализе относительно короткой последовательности сканов ОКТ представляется целесообразным проводить предварительную обработку экспериментальных данных, которая включает интерполяцию сигналов $s_0(t)$ и $s_1(t)$ с шагом Δt , например, кубическими сплайнами $S_0(t)$ и $S_1(t)$ и цифровую фильтрацию с помощью фильтра нижних частот для устранения высокочастотных вариаций и артефактов. Одним из простых вариантов фильтрации является метод скользящего среднего, в результате применения которого осуществляется переход к процессам $F_0(t)$ и $F_1(t)$. Пример предварительной обработки экспериментальных данных ОКТ представлен на рис. 2. Анализ сигналов $F_0(t)$ и $F_1(t)$, прошедших процедуру предварительной обработки, далее будет проводиться на основе вейвлет-анализа, как одного из наиболее эффективных инструментов исследования частотно-временного состава экспериментальных данных.

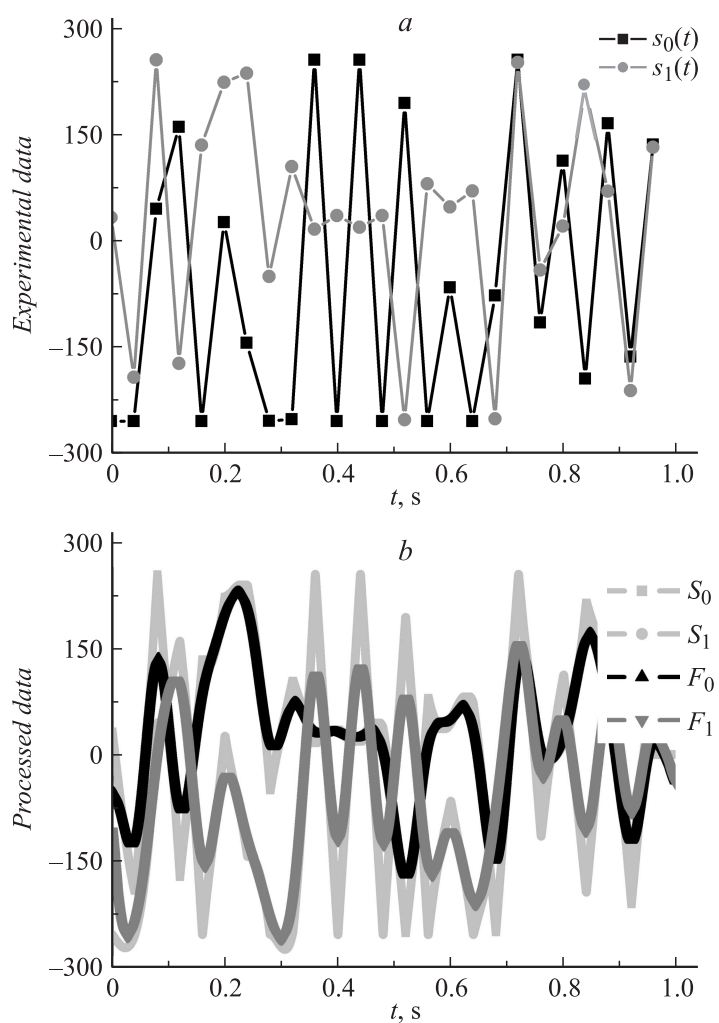


Рис. 2. Анализируемые процессы: *a* — исходные экспериментальные данные в виде сигналов $s_0(t)$ и $s_1(t)$; *b* — обработанные данные после интерполяции $S_0(t)$ и $S_1(t)$, после интерполяции и фильтрации $F_0(t)$, $F_1(t)$; *c* — разбиение процесса $F(t)$.

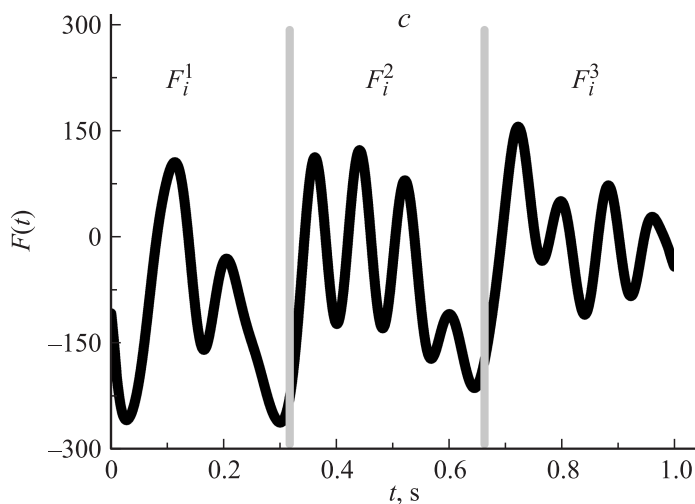


Рис. 2 (продолжение).

Непрерывное вейвлет-преобразование сигнала $F(t)$ можно записать в следующем виде:

$$W(v;t) = \sqrt{v} \int_0^T F(t') \varphi^*(v(t' - t)) dt', \quad t' = k\Delta t, \quad t = j\Delta t, \quad (1)$$

где $W(v;t)$ — вейвлет-коэффициенты, φ — базисная функция, параметры t и v характеризуют смещение вейвлета вдоль временной оси и масштабные изменения базисной функции, Δt — интервал дискретизации после интерполяции сплайнами ($\Delta t < \Delta \tau$), звездочка обозначает комплексное сопряжение. В данной работе в качестве базисной функции используется вейвлет Морле

$$\varphi(x) = \pi^{-1/4} \exp(i\omega_0 x) \exp(-x^2/2), \quad (2)$$

обладающий хорошей локализацией как во временной, так и в спектральных областях. Частотно-временное разрешение корректируется заданием параметра ω_0 — центральной частоты вейвлета. В целях выявления наиболее существенных отличий динамики в двух

режимах функционирования, т.е. для поиска максимальных различий процессов $F_0(t)$ и $F_1(t)$ необходимо произвести селекцию оптимального набора параметров ν и ω_0 . С этой целью каждый из процессов разбивается на P_F сегментов длительностью M_F каждый ($N_F = P_F M_F$, $N_F \Delta t = T$), что позволяет ввести в рассмотрение фрагменты $F_i^j = F(i\Delta t)$, $i \in [jM_F; (j+1)M_F)$, $j = 0, 1, \dots, P_F$ и соответствующие вейвлет-коэффициенты $W_j(\nu, \omega_0, t)$. Отметим, что в отличие от формулы (1) эти коэффициенты зависят от 3 параметров, учитывая дополнительный параметр ω_0 вейвлет-функции (2). По полученным коэффициентам вычислим среднюю амплитуду A для каждого фрагмента анализируемого процесса:

$$A_j(\nu, \omega_0) = \frac{1}{M_F} \sum_{k=1}^{M_F} |W_j(\nu, \omega_0, t)|. \quad (3)$$

Для процессов $F_0(t)$ и $F_1(t)$, таким образом, вычисляются два множества локальных средних амплитуд $A_j^0(\nu, \omega_0)$ и $A_j^1(\nu, \omega_0)$, на основе которых предлагается построить целевую функцию локального среднего максимума $R_d(\nu, \omega_0)$:

$$R_d(\nu, \omega_0) = \frac{\langle A_j^1(\nu, \omega_0) \rangle - \langle A_j^0(\nu, \omega_0) \rangle}{\sigma(A_j^0(\nu, \omega_0)) + \sigma(A_j^1(\nu, \omega_0))}, \quad (4)$$

где угловыми скобками обозначено усреднение по ансамблю значений $A_j^0(\nu, \omega_0)$ и $A_j^1(\nu, \omega_0)$, т.е. по индексу $j = 0, 1, \dots, P_F$, σ — среднеквадратичное отклонение величин $A_j^0(\nu, \omega_0)$ и $A_j^1(\nu, \omega_0)$ от усредненных по индексу j значений. Выбор функции (4) обусловлен необходимостью нахождения параметров, которые максимизируют различия между средними значениями амплитуд по отношению к вариациям данных значений для различных участков сигналов. При помощи целевой функции (4) можно определять оптимальные значения параметров ν и ω_0 , при которых в анализируемых процессах $F_0(t)$ и $F_1(t)$ будут выявляться максимальные различия в частотной области. Если параметры выбраны оптимально или близко к оптимальному уровню, то функция (4) принимает значения, лежащие в диапазоне $(-\infty; -1] \cup [1; +\infty)$. Для всех остальных значений целевой функции (4) различия между анализируемыми процессами будут малы.

Таким образом, предлагаемый алгоритм является адаптивным в силу того, что для выбора параметров ν и ω_0 вводится целевая функция (4). Процесс поиска параметров предлагается проводить на основе метода стохастической оптимизации (алгоритм статистических испытаний Монте-Карло [7,8]), который может быть записан в виде следующего алгоритма:

1. Генерация случайных значений параметров ν и ω_0 функции Морле в пределах заданного частотного диапазона.
2. Расчет значений целевой функции $R_d(\nu, \omega_0)$.
3. Проведение сортировки последовательности значений целевой функции [9] и получение вариационного ряда, крайние члены которого указывают на оптимальные значения параметров ν и ω_0 . Выбор первого или последнего члена вариационного ряда в зависимости от того, который из них больше по модулю.

В данной работе предложенный адаптивный метод был применен для количественного описания изменения динамики кровеносных сосудов мозга крыс при введении адреналина, соответственно $s_0(t)$ и $s_1(t)$ характеризуют скорость кровотока до и после изменения уровня адреналина в крови. При патологии (нарушения функционирования сосудов, приводящие к мозговым кровотечениям) реакция на адреналин является более слабой, чем в норме, что соответствует относительно малым значениям целевой функции $R_d(\nu, \omega_0)$. Это позволяет ввести следующие количественные критерии:

$$\theta = \frac{1}{2} \left(\langle |R_d| \rangle^n + \langle |R_d| \rangle^p \right), \quad \alpha = \frac{\langle |R_d| \rangle^n}{\langle |R_d| \rangle^p}, \quad (5)$$

где n и p соответствуют значениям целевой функции для случаев нормы и патологии, угловыми скобками обозначено усреднение.

Тестирование предложенного метода проводилось на экспериментальных записях ОКТ-сигналов пяти крыс ($\Delta\tau = 0.14$ s, $N_0 = 50$ для каждого состояния). Сигналы после проведения интерполяции и фильтрации ($N_F = 15000$, $\Delta t = 0.00047$ s) были разделены на $P_F = 3$ сегмента длительностью $M_F = 5000$, после чего была проведена стохастическая оптимизация целевой функции для всех экспериментов. Оптимизация проводилась по отдельности в диапазонах, отражающих влияние различных механизмов регуляции: 0.25–0.75 Hz (НЧ-диапазон), 0.75–3.0 Hz (ВЧ-диапазон), 5.0–10.0 Hz (диапазон частоты серд-

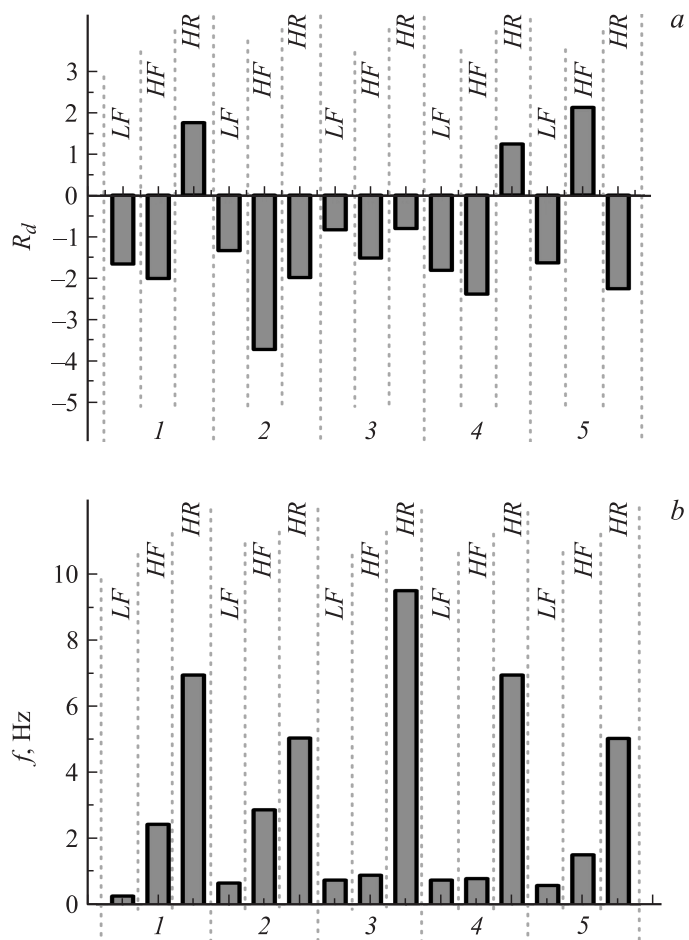


Рис. 3. Результаты стохастической оптимизации: *a* — значения целевой функции R_d ; *b* — частота, соответствующая оптимальным значениям параметров функции Морле.

цебиений). Результаты оптимизации $R_d(\nu, \omega_0)$ и значения частоты колебаний f , соответствующих оптимальным значениям параметров ν и ω_0 , представлены на рис. 3. Расчет частоты колебаний проводился с

использованием формулы

$$f = \nu \frac{\omega_0 + \sqrt{\omega_0^2 + 2}}{4\pi}, \quad (6)$$

которая характеризует взаимосвязь между параметрами вейвлет-функции и частотой фурье-спектра. Наиболее четкие различия между случаями нормы и патологии были выявлены в НЧ-диапазоне и соответствуют значениям $\theta = 1.23$, $\alpha = 1.9$. Критерии (5), превышающие эти величины, соответствуют нормальной динамике. Отметим, что применение классического спектрального анализа не позволило достоверно отличить нормальную и патологическую динамику, что свидетельствует о более высоком потенциале методов вейвлет-анализа при обработке сигналов малой длительности. Предложенный метод адаптивного анализа обеспечивает возможность автоматического выявления наиболее существенных различий динамики в разных состояниях, и реализуется в виде алгоритма, не требующего непосредственного участия исследователя в настройке параметров. Таким образом, устраняется влияние субъективных факторов (таких, как опыт исследователя), и это обстоятельство открывает значительные перспективы применения данного подхода при создании автоматизированных диагностических комплексов для ранней диагностики функциональных нарушений динамики сосудов.

Проводимые исследования были поддержаны грантами РФФИ 12-02-31204, 11-02-00560-а, а также Министерством образования и науки РФ в рамках ФЦП „Научные и научно-педагогические кадры инновационной России на 2009–2013 гг.“ (соглашения 14.В37.21.0216, 14.В37.21.0853).

Список литературы

- [1] *Fujimoto J.G.* // Encyclopedia of Optical Engineering. New York: Marcel Dekker. 2003. 1594 p.
- [2] *Drexler W., Fujimoto J.G.* Optical coherence tomography: technology and applications. Berlin: Springer, 2008. 1357 p.
- [3] *Mallat S.G.* A wavelet tour of signal processing. New York: Academic Press, 1998. P. 549.

- [4] *Addison P.S.* The illustrated wavelet transform handbook: introduction theory and applications in science, engineering, medicine and finance. Bristol: IOP Publ., 2002. 368 p.
- [5] *Pavlov A.N., Makarov V.A., Mosekilde E.* et al. // *Brief. Bioinformatics.* 2006. V. 7. N 4. P. 375.
- [6] *Павлов А.Н., Храмов А.Е., Короновский А.А.* и др. // *Успехи физических наук.* 2012. Т. 182. № 9. С. 905; *Pavlov A.N., Hramov A.E., Koronovskii A.A.* et al. // *Phys. Usp.* 2012. V. 55. P. 845.
- [7] *Yuan R., Yu D., Faming L.* // *Stat. Comput.* 2008. V. 18. P. 375.
- [8] *Papadrakakis M., Lagaros N.D.* // *Computer methods in applying mechanics and engineering.* 2002. V. 191. P. 3491.
- [9] *Cormen T.H., Leiserson C.E., Rivest R.L.* et al. *Introduction to Algorithms* (3rd ed.). Cambridge: MIT Press. 2009. 1312 p.